



EVROPSKÁ UNIE
Evropské strukturální a investiční fondy
Operační program Výzkum, vývoj a vzdělávání

MŠMT
MINISTERSTVO ŠKOLSTVÍ,
MLÁDEŽE A TĚLOVÝCHOVY



Rozvoj lidských zdrojů TUL pro zvyšování relevance, kvality a přístupu ke vzdělání v podmínkách Průmyslu 4.0

CZ.02.2.69/0.0/0.0/16_015/0002329

Úvod do zpracování obrazů

Mechatronika

Prezentace přednášky č. 3

Grafické formáty, geometrické transformace

doc. Ing. Josef Chaloupka, Ph.D.



TECHNICKÁ UNIVERZITA V LIBERCI
www.tul.cz



<http://www.ite.tul.cz>



GRAFICKÉ FORMÁTY ULOŽENÍ OBRAZU



- Komprese obrazových dat
- **Bezztrátové algoritmy** >>> efektivního kódování, v obraze existují zákonitosti-podobnost některých sousedních pixelů
- Každou posloupnost opakujících se stejných čísel zapíšeme pouze jednou a kolikrát se má opakovat (run-length encoding RLE)
- Speciální kódy pro skupiny hodnot, které se často opakují (např. Lempel-Ziv-Welch neboli LZW algoritmus)
- Pro jednotlivé hodnoty kódy, které mají různý počet bitů a těm, které se opakují nejčastěji, se přidělí kódy nejkratší, zatímco těm nejméně častým nejdelší (entropy coding, Huffmanův kód, Aritmetické kódování)
- Hodnotu každého pixelu vždy nejprve odhadnout na základě hodnot jednoho nebo více předchozích pixelů a zaznamenat pouze rozdíl mezi odhadnutou a skutečnou hodnotou (predictive coding), dokonalá metoda odhadu hodnot >>> rozdíl mezi skutečnou a odhadovanou metodou nula nebo přinejhorším nějaké hodně malé číslo >>> řetězec čísel, kde převažují nuly a malá čísla >>> kódování pomocí předchozích metod
- Matematických transformace (např. Haarovy transformace).





GRAFICKÉ FORMÁTY ULOŽENÍ OBRAZU



- **GIF** (Graphics Interchange Format) od: Compuserve, rozšířený formát na webu, bezztrátový - LZW kódování (patent spol. Unisys – poplatek z komerčního užívání), pro jednoduchou grafiku - maximálně 8 bitů na pixel (256 barev), pro obrázky s malým počtem barev a výraznými hranami, dvě varianty GIFu – 87, 89a (podporuje průhlednost, animace, ...)
- **PNG** (Portable Network Graphics) (GIF-patentem Unisysu) bezztrátový - starší Lempel-Ziv komprese, 1-48 bitů na pixel, málo rozšířený
- **TIFF** (Tagged Image File Format) od: Adobe, požadavek vysoké kvality, komplikovaný formát – uložení bez komprese nebo různě komprimované (LZW, run-length, ztrátová JPEG atd.), ne vždy čitelný formát





- **RLE kódování**
- Run-length encoding
- Bezztrátová kompresní metoda, kódování posloupnosti stejných hodnot do dvou čísel >>> délka posloupnosti, znak (číslo...)
- Využití >>> především u komprese obrazových dat, kde se v obraze mohou vyskytovat barevné plochy se stejnou hodnotou >>> jpg, tiff, ...
- **(-) Nevýhody** – V nejhorším případě, kdy se data ani jednou neopakují může být kompresní poměr = 2, tj. komprimovaný datový řetězec je 2x větší než původní
- Př.:

datový řetězec:	AAAAAFFFFCHHH	(13 znaků)
kódovaný datový řetězec:	5A4F1C3H	(8 znaků)
kompresní poměr:	0,62 (62%)	





- **Lempel-Ziv-Welchův algoritmus (1978)**
- Kompresní/dekompresní metoda, využití – přenos dat, GIF, TIFF, postscript
- **(+)** rychlá metoda, **(-)** horší kompresní poměr (cca o 30% horší než nejlepší met.)
- Slovník – ukládají se opakující se znaky
- Pokud se vyskytne několik stejných posloupností znaků – nahrazení stejným číslem
- Slovník se neukládá, ale je znovu vytvořen ze zakódovaného souboru







- **Lempel-Ziv-Welchův algoritmus (1978) - dekomprese**

- Př. řetězec 12346591, přiřazení čísel a = 1, b = 2, c = 3
- K číslu přiřazená fráze
- Nová fráze = fráze z předchozího kroku + první znak fráze výstupu
- **Pokud číslo na vstupu je větší než současné číslo ve vytvářeném slovníku: výstup = nová fráze = minulá fráze + její první znak**

Krok	vstup	výstup	nová fráze	Index nov. fráze
1	1	a		
2	2	b	ab	4
3	3	c	bc	5
4	4	ab	ca	6
5	6	ca	abc	7
6	5	bc	cab	8
7	9	bcb	bcb	9
8	1	a		

- Výstup: řetězec abcabcbcbcb





Huffmanovo kódování

- **Huffmanovo kódování**
- Algoritmus navržen Davidem Huffmanem (1952)
- Využití prefixového kódu - kód žádného znaku není prefixem jiného znaku, neprefixový kód: Morseova abeceda
- Proměnná délka kódových slov >>> „znaky“, které jsou nejvíce četné mají nejkratší délku a naopak
- **Algoritmus kódování:**
 1. Zjištění četnosti jednotlivých „znaků“
 2. Vytvoření jednotlivých kódů na základě četností
 3. Nahrazení jednotlivými znaky v datovém souboru nalezenými kódy
- **(+) Výhody** – rychlá komprese a dekomprese, nenáročná na paměť
- **(-) Nevýhody** – nutnost nalezených kódů, menší kompresní poměr





Huffmanovo kódování

- **Příklad:** znakový řetězec ABRAKADABRA
- 1) četnosti A (5x – 0,46), R (2x – 0,18), B (2x – 0,18), K (1x – 0,09), D (1x – 0,09)
- 2) vytvoření tabulky dle četností
- 3) poslední dvě četnosti se sečtou a zařadí se do tabulky, sčítá se až do 1

A 0,46		A 0,46		A 0,46		KDBR 0,54	1
R 0,18		R 0,18		KDB 0,36	1	A 0,46	0
B 0,18		B 0,18	1	R 0,18	0		
K 0,09	1	KD 0,18	0				
D 0,09	0						

- 4) Posledním dvěma slovům v každém sloupci tabulce přiřadíme 1 (vyšší četnost) a 0 (nižší četnost)
- 5) Výsledný kód znaku >>> posloupnost 0 a 1 dle toho jak se znak seskupoval s dalšími znaky, např. pro znak K: (1) – KDBR, (1) KDB, (0) KD a (1) K. Výsledné kódy A (0), R (10), B (111), K (1101), D (1100)
- 6) Výsledný řetězec pro ABRAKADABRA: 0 111 10 0 1101 0 1100 0 111 10 0, tj.: 01111001101011000111100
- Kompresní poměr (pokud 1 znak = 8 bit.): 0,26 (26%)





Aritmetické kódování

- **Aritmetické kódování**

- Huffmanův kód >>> problém při stejné pravděpodobnosti výskytu >>> možné řešení >>> aritmetické kódování
- Pro bezztrátovou kompresi dat, proměnná délka kódových slov jako u Huffmanova kódování, při kódování se však vstupní znak nenahrazuje specifickým kódem, ale výsledek, tj. vstupní datový řetězec se nahradí reálným číslem z intervalu $<0,1$).

- **Algoritmus kódování:**

1. Zjištění četnosti (pravděpodobnosti výskytu) jednotlivých „znaků“
2. Dle pravděpodobnosti výskytu znaků se umístí znak v intervalu $<0,1$)
3. Celý interval $<0,1$) je postupně omezován z obou stran na základě přicházejících znaků.
4. Každý znak vybere z aktuálního intervalu odpovídající poměrnou část >>> nový základ pro následující symbol.
5. Po průchodu (načtení) všech znaků dostáváme podinterval z intervalu $<0,1$), výsledkem je pak libovolné reálné číslo z tohoto intervalu.
6. Na konec kódované zprávy dáme speciální znak, jinak při dekódování není možné určit konec datového toku, nebo uložíme délku původní posloupnosti znaků





Aritmetické kódování

- **Aritmetické kódování** – př.
- Datový řetězec CBAABCADAC (10 znaků)
- 1) Pravděpodobnosti výskytu A – 0.4 (P1), B – 0.2 (P2), C – 0.3 (P3), D – 0.1 (P4)
- 2) rozdělení v intervalu $<0, 1)$:

$<0, P1), <P1, P1 + P2), <P1 + P2, P1 + P2 + P3), <P1 + P2 + P3, P1 + P2 + P3 + P4)$

Kumulativní pravděpodobnosti:

$Q_0 = 0, Q_1 = P_1, Q_2 = P_1 + P_2, \dots, Q_N = P_1 + P_2 + \dots + P_N = 1$

$<0, Q_1), <Q_1, Q_2), <Q_2, Q_3), <Q_3, Q_4)$

$<0, 0.4), <0.4, 0.6), <0.6, 0.9), <0.9, 1)$

A

B

C

D





Aritmetické kódování

- **Aritmetické kódování** – př.

- Datový řetězec CBAABCADAC (10 znaků)

- Rozdělení intervalu

<0, 0.4), <0.4, 0.6), <0.6, 0.9), <0.9, 1)
A B C D

- 3) Kódování >>> postupné omezování intervalu $I = \langle 0, 1 \rangle$, $I = \langle L, H \rangle$
- >>> Postupně jsou brány znaky z datového řetězce, k nim známe $I_Z = \langle Z_L, Z_H \rangle$
- >>> Nová hodnota intervalu $I_N = \langle L + Z_L \cdot (H - L), L + Z_H \cdot (H - L) \rangle$

C >>> $I = \langle 0, 1 \rangle$, $I_N = \langle 0 + 0.6 \cdot (1 - 0), 0 + 0.9 \cdot (1 - 0) \rangle = \langle 0.6, 0.9 \rangle$

B >>> $I = \langle 0.6, 0.9 \rangle$, $I_N = \langle 0.6 + 0.4 \cdot (0.9 - 0.6), 0.6 + 0.6 \cdot (0.9 - 0.6) \rangle = \langle 0.72, 0.78 \rangle$

A >>> $I = \langle 0.72, 0.78 \rangle$, $I_N = \langle 0.72 + 0 \cdot (0.78 - 0.72), 0.72 + 0.4 \cdot (0.78 - 0.72) \rangle = \langle 0.72, 0.744 \rangle$

A >>> $I = \langle 0.72, 0.744 \rangle$, $I_N = \langle 0.72 + 0 \cdot (0.744 - 0.72), 0.72 + 0.4 \cdot (0.744 - 0.72) \rangle = \langle 0.72, 0.7296 \rangle$

B >>> $I = \langle 0.72, 0.7296 \rangle$, $I_N = \langle 0.72 + 0.4 \cdot (0.7296 - 0.72), 0.72 + 0.6 \cdot (0.7296 - 0.72) \rangle = \langle 0.72384, 0.72576 \rangle$

....

....

B >>> $I = \langle 0.72519936, 0.725208576 \rangle$, $I_N = \langle 0.7252048896, 0.7252076544 \rangle$, C = 0.725205





Aritmetické kódování

- **Aritmetické** **dekódování** – př.

- Datový řetězec CBAABCADAC (10 znaků)

- Rozdělení intervalu

<0, 0.4), <0.4, 0.6), <0.6, 0.9), <0.9, 1)
A B C D

- Výsledek kódování >>> C = 0.725205

- 1) Počáteční hodnota intervalu dekódování I = <0, 1)
- 2) dekódování znaku: $K = ((C - L) / (H - L))$; $ZL \leq K < ZH$ >>> nalezneme odpovídající znak
- 3) počítáme nový interval $IN = <L + ZL*(H - L), L + ZH*(H - L))$
- $I = <0, 1)$, $K = 0.725205$, znak = C, $IN = <0 + 0.6*(1 - 0), 0 + 0.9*(1 - 0) = <0.6, 0.9)$
- $I = <0.6, 0.9)$, $K = 0.41735$, znak = B, $IN = <0.6 + 0.4*(0.9 - 0.6), 0.6 + 0.6*(0.9 - 0.6)) = <0.72, 0.78)$
- $I = <0.72, 0.78)$, $K = 0.08675$, znak = A, $IN = <0.72, 0.744)$
- $I = <0.72, 0.744)$, $K = 0.216875$, znak = A, $IN = <0.72, 0.7296)$
- ...





GRAFICKÉ FORMÁTY ULOŽENÍ OBRAZU



- **Ztrátové algoritmy** >>> část informace obsažené v obrázku lze neuvažovat, bez viditelného rozdílu >>> citlivost lidského oko
- Transformace obrazu, separace jasu a barvy HSI (Hue, Saturation a Intensity) barevnou informaci zaznamenat jen v hrubším rozlišení
- Transformace obrazu do frekvenční oblasti (Fourierova nebo kosinová transformace, wavelety apod.) – zanedbání vyšších frekvencí (v diagonálním směru-malá citlivost lidského oka), zbylé frekvence se různě hrubě kvantizují (zaokrouhlují) podle důležitosti **(+)** větší komprese, **(-)** nevratné ztráty





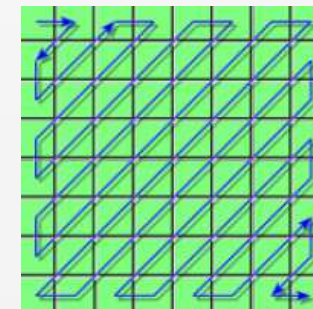
GRAFICKÉ FORMÁTY ULOŽENÍ OBRAZU



- **JPG** (JPEG, přesněji JFIF) od: Joint Photography Experts Group, ukládání fotografií, hlavní formát pro prezentaci fotografií na webu, digitální fotoaparáty, ztrátový formát založený na diskretní kosinové transformaci >>> malé čtverečky o rozměrech 8x8 pixelů (rychlost), velká komprese >>> viditelné artefakty tvaru čtverečků, kontury místo plynulých přechodů barev, vzorečky v oblastech s drobnou texturou, „duchové“ kolem hran; náhled z nízkých frekvencí

- **Postup JPG komprese:**

- 1) Převod do barevného prostoru YCbCr
- 2) Převzorkování (4:4:4, 4:2:2, 4:2:0)
- odstranění části barevné informace
- 3) Rozdělení obrázku do makrobloků 8x8
- 4) Výpočet DCT: Diskretní kosinová transformace
- 5) Kvantizace pomocí kvantizační tabulky
- zahození části informace – vysoké frekvence
- 6) Linearizace (zig-zag)
- 7) RLE kódování
- 8) Huffmanovo nebo aritmetické kódování





GRAFICKÉ FORMÁTY ULOŽENÍ OBRAZU



- **FPX** (Flashpix) od: Kodak, Hewlet Packard, Microsoft a Live Picture, prohlížení velkých obrázků webovým browserem, formát vlastní nezávislé konsorcium Digital Imaging Group, obrázek je v souboru uložený jako pyramida různých rozlišení – zoomování, ztrátová komprese je ztrátová, malé rozšíření
- **PCD** (PhotoCD) od: Kodak, čitelnost formátu, málokterý editor umí ukládat, bezztrátová komprese je bezztrátová, obrázek ve formě pyramidy, profesionální skenování fotografií
- **PSD** pro: Adobe Photoshop, bezztrátový formát, podporuje vrstvy, alfa kanály, cesty apod.
- **PDF** (Portable Document Format) od: Adobe, pro elektronické publikace, ztrátová, bezztrátová komprese, prohlížeč zdarma
- **EPS** (Encapsulated PostScript) od: Adobe, pro přidávání obrázku do dokumentů, vektorová grafika, rastrové obrázky.
- **BMP** bitmapa, indexované a RGB obrázky, 1, 4, 8 nebo 24... bitů na pixel, nekomprimovaná nebo bezztrátově komprimovaná data pomocí RLE.





GRAFICKÉ FORMÁTY ULOŽENÍ OBRAZU



- **XBM** (X BitMap), bitmapa pro X Windows (Unix)
- **PICT** formát, používá Macintosh, bez komprese nebo run-length encoding
- **TGA** (Truevision/Targa), v oblasti počítačové grafiky (hry a pod.).
- **Další formáty** >>> nové, staré, speciální programy, satelitní snímky, otisky prstů





VELIKOST OBRAZU

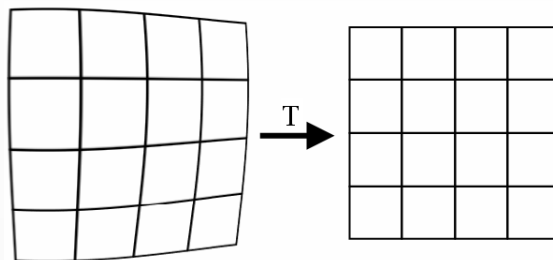
- **DPI** >>> Dot Per Inch >>> body na palec; 1 palec -> 2,54 cm
- $\text{rozměr v cm} = \text{počet bodů} * 2,54 / \text{DPI}$
- $\text{počet bodů} = \text{rozměr v cm} * \text{DPI} / 2,54$
- př.: rozměr = 9 cm, 300 DPI, velikost v bodech = ?
velikost v bodech = $9 * 300 / 2,54 \approx 1063$ pixelů





GEOMETRICKÉ TRANSFORMACE

- Transformace >>> zvětšení, rotace, odstranění geometrického zkreslení obrazu



- Geometrická transformace >> vektorová funkce >> zobrazí bod x, y do bodu x', y'

$$x' = T_X(x, y) \quad y' = T_Y(x, y)$$

- T_x, T_y známé nebo je hledáme na základě znalosti původního a transformovaného obrazu >>> známé (vlíkové) body

- Geometrická transformace
 - 1) transformace souřadnic bodů
 - 2) aproximace jasové funkce

- Transformace souřadnic bodů

$$x' = \sum_{r=0}^m \sum_{k=0}^{m-r} a_{rk} x^r y^k, \quad y' = \sum_{r=0}^m \sum_{k=0}^{m-r} b_{rk} x^r y^k$$

výpočet a_{rk}, b_{rk} metodou nejmenších čtverců





GEOMETRICKÉ TRANSFORMACE

- Nahrazení bilineární transformací >>> pro malé změny $m = 2$ až 3

$$x' = a_0 + a_1x + a_2y + a_3xy \quad y' = b_0 + b_1x + b_2y + b_3xy$$

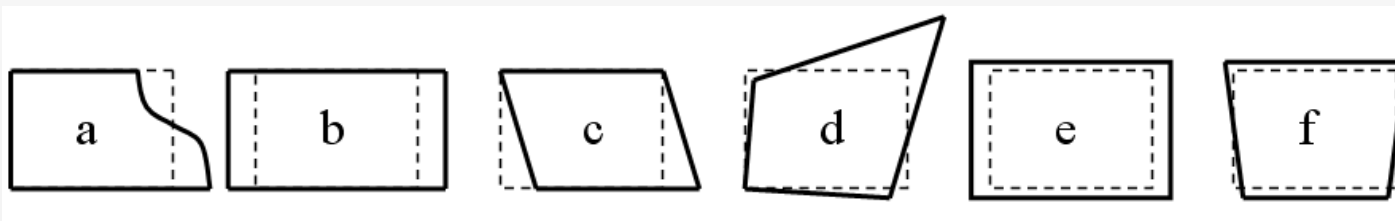
- Afinní transformace >>> zvláštní případ bilineární transformace

$$x' = a_0 + a_1x + a_2y \quad y' = b_0 + b_1x + b_2y$$

- Převedení do homogenních souřadnic

$$\begin{bmatrix} x' \\ y' \\ 1 \end{bmatrix} = \begin{bmatrix} a_1 & a_2 & a_0 \\ b_1 & b_2 & b_0 \\ 0 & 0 & 1 \end{bmatrix} \begin{bmatrix} x \\ y \\ 1 \end{bmatrix}$$

- Složitě geometrické zkreslení >>> rozdělení obrazu na menší části



- a-rozdílná vzdálenost objektů od zrcadla senzoru, b-rovinné zkreslení (skener), c-vesmírný skener-otáčení zeměkoule, e-kamera se vzdaluje od objektů, f-perspektivní zobrazení – model dírkové komory





GEOMETRICKÉ TRANSFORMACE

- Jakobián J – informace o změně systému při geometrické transformaci

$$J = \left| \frac{\partial(x', y')}{\partial(x, y)} \right| = \begin{vmatrix} \frac{\partial x'}{\partial x} & \frac{\partial x'}{\partial y} \\ \frac{\partial y'}{\partial x} & \frac{\partial y'}{\partial y} \end{vmatrix}$$

singulární transformace $J = 0$

obraz invariantní vůči transformaci $J = 1$

$$J = a_1 b_2 - a_2 b_1 + (a_1 b_3 - a_3 b_1)x + (a_3 b_2 - a_2 b_3)y$$

$$J = a_1 b_2 - a_2 b_1$$

pro bilineární transformaci

pro afinní transformaci

- Rotace** o úhel Φ proti originálnímu obrazu

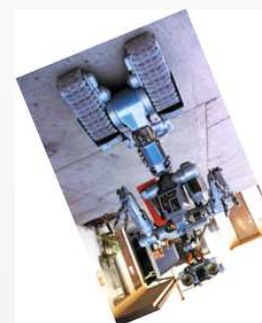
$$x' = x \cdot \cos \Phi + y \cdot \sin \Phi \quad y' = -x \cdot \sin \Phi + y \cdot \cos \Phi \quad J = 1$$

- Změna měřítka**

$$x' = ax \quad y' = bx \quad J = ab$$

- Zkosení** o úhel Φ

$$x' = x + y \cdot \tan \Phi \quad y' = y \quad J = 1$$





GEOMETRICKÉ TRANSFORMACE

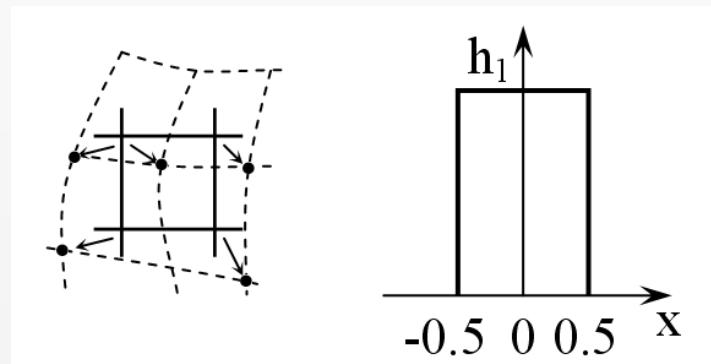
- Výpočet souřadnic v původním obraze

$$(x, y) = T^{-1}(x', y')$$

- Výsledný (interpolovaný) jas

$$f_n(x, y) = \sum_{l=-\infty}^{\infty} \sum_{k=-\infty}^{\infty} g_s(l\Delta x, k\Delta y) \cdot h_n(x - l\Delta x, y - k\Delta y) \quad \text{hn... interpolační jádro}$$

- **1) Metoda nejbližšího souseda**



$$f_1(x, y) = g_s(\text{round}(x), \text{round}(y))$$

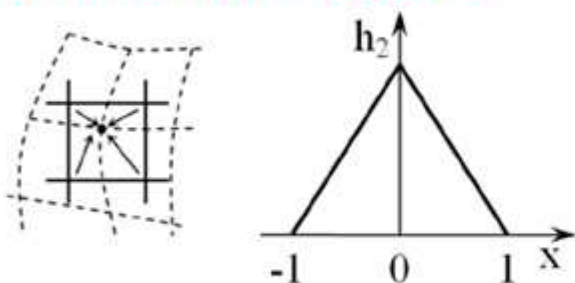




GEOMETRICKÉ TRANSFORMACE



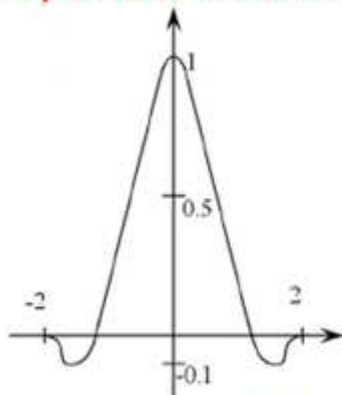
2) Lineární interpolace



$$f_2(x, y) = (1-a)(1-b)g_s(l, k) + a(1-b)g_s(l+1, k) + b(1-a)g_s(l, k+1) + a.b.g_s(l+1, k+1)$$

$$l = \text{round}(x) \quad k = \text{round}(y) \quad a = x - l \quad b = y - k$$

3) Bikubická interpolace - bikubický polynom, okolí 16 bodů



$$h_3 = \begin{cases} 1 - 2|x|^2 + |x|^3 & \text{pro } 0 \leq |x| < 1 \\ 4 - 8|x| + 5|x|^2 - |x|^3 & \text{pro } 1 \leq |x| < 2 \\ 0 & \text{jinde} \end{cases}$$

Další interpolace – fraktály...





GEOMETRICKÉ TRANSFORMACE

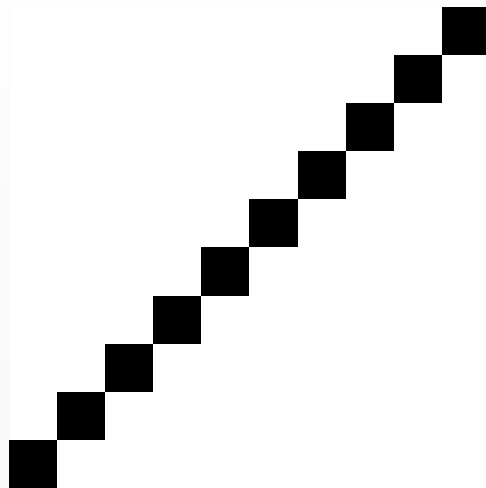
- **Bikubická interpolace** - algoritmus

1. $id = i' \cdot (w / w')$
 $jd = j' \cdot (h / h')$
 w (šířka), h (výška) originálního obrazu
 w' (šířka), h' (výška) nového obrazu
2. $ic = c.č(id)$ $id=1.8 \rightarrow ic = 1$
 $jc = c.č(jd)$
3. $dx = id - ic$
 $dy = jd - jc$
4. $f(i', j') = f(ic + m, j + n) \cdot R(m - dx) \cdot R(dy - n)$
5. $R(x) = (1/6) \cdot [P(x+2)^3 - 4P(x+1)^3 + 6P(x)^3 - 4P(x-1)^3]$
6. $P(x) = x$, pro $x > 0$
 $P(x) = 0$, pro $x \leq 0$





GRAFICKÉ FORMÁTY ULOŽENÍ OBRAZU



Nejbližší soused



Lineární interpolace



Bikubická interpolace

